

PATENT ABSTRACTS OF JAPAN

(11)Publication number : **2000-242224**

(43)Date of publication of application : **08.09.2000**

(51)Int.CI.

G09G 3/28

(21)Application number : **11-042549**

(71)Applicant : **MATSUSHITA
ELECTRIC IND CO
LTD**

(22)Date of filing :

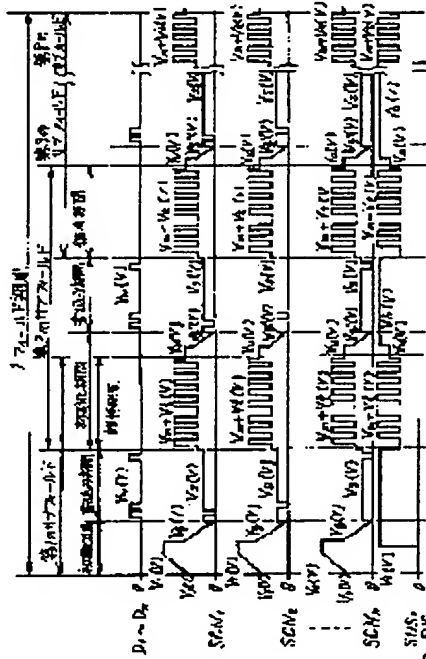
22.02.1999 (72)Inventor : **KURATA
TAKATSUGU
MASUDA SHINJI
KAWACHI MAKOTO**

(54) METHOD FOR DRIVING AC TYPE PLASMA DISPLAY PANEL

(57)Abstract:

PROBLEM TO BE SOLVED: To provide an AC type plasma display panel driving method capable of drastically improving the visibility of black and contrast.

SOLUTION: One field period is composed of a 1st to 8th sub-fields containing an initializing period, a writing period, and a maintaining period. By making a low level value ($V_t(V)$) of a maintaining pulse voltage applied to maintaining electrodes SUS1-SUSn for a maintaining period to a higher potential than a low level value (0 (V)) of a scanning pulse voltage to be applied to scanning electrodes SCN1-SCNn for a write period, a part of an initializing operation during an initializing period of each sub-field is made to operate at the same time as a maintaining operation during a maintaining period of the immediately preceding sub-field in the 2nd to 8th sub-fields.



LEGAL STATUS

(19) 日本国特許庁 (JP)

(12) 公開特許公報 (A)

(11) 特許出願公開番号
特開2000-242224
(P2000-242224A)

(13) 公開日 平成12年9月8日(2000.9.8)

(61) Int.Cl.
G 09 G 3/28

識別記号

F I
G 09 G 3/28マークコード(参考)
J 5 C 0 8 0

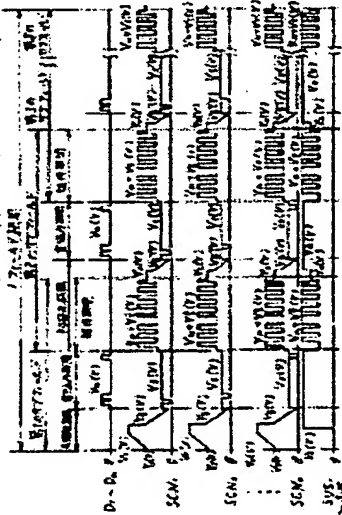
審査請求 未請求 請求項の数 3 OL (全 9 頁)

(21) 出願番号 特願平11-42549
(22) 出願日 平成11年2月22日(1999.2.22)(71) 出願人 000005821
松下電器産業株式会社
大阪府門真市大字門真1006番地
(72) 発明者 金田 陸次
大阪府門真市大字門真1006番地 松下電器
産業株式会社内
(72) 発明者 増山 真司
大阪府門真市大字門真1006番地 松下電器
産業株式会社内
(74) 代理人 100097445
弁理士 岩崎 文雄 (外2名)

最終頁に続く

(54) 【発明の名称】 AC型プラズマディスプレイパネルの駆動方法

(57) 【要約】

【課題】 黒の視認性が大幅に向かうとともに、コン
トラストを非常に高めることができるAC型プラズマディ
スプレイパネルの駆動方法を得る。【解決手段】 1フィールド期間は、初期化期間、書き
込み期間および維持期間を有する第1ないし第8のサブ
フィールドで構成されている。書き込み期間では差電圧
 $S_{CN1} \sim S_{CNn}$ に印加する走査パルス電圧のロー・レベル
の値 ($0 (V)$) に対し、維持期間で維持電圧 $S_{US1} \sim S_{USn}$ および走査電圧 $S_{CN1} \sim S_{CNn}$ に印加する
維持パルス電圧のロー・レベルの値 ($V_1 (V)$) を高電
位にすることにより、第2ないし第8のサブフィールド
において、各サブフィールドの初期化期間における初期
化動作の一歩を、すぐ前のサブフィールドの維持期間に
における維持動作と同時に実行させる。

【特許請求の範囲】

【請求項 1】 初期化期間、書き込み期間および維持期間を有する複数のサブフィールドにより 1 フィールド周期を構成して階調表示を行う A C 型プラズマディスプレイパネルの駆動方法であって、前記複数のサブフィールドのうち少なくとも 1 つのサブフィールドにおける維持期間の維持動作と、前記少なくとも 1 つのサブフィールドに続くサブフィールドの初期化期間の初期化動作とを同時に実行させる A C 型プラズマディスプレイパネルの駆動方法。

【請求項 2】 走査電極および維持電極が形成された基板とデータ電極が形成された別の基板とが対向配置された A C 型プラズマディスプレイパネルを駆動する方法であって、1 フィールド周期が初期化期間、書き込み期間および維持期間を有する複数のサブフィールドにより構成されおり、前記複数のサブフィールドのうち少なくとも 1 つのサブフィールドでの前記維持期間において、前記走査電極および前記維持電極に印加する維持パルス電圧のローレベルの値を、前記書き込み期間において前記走査電極に印加する走査パルス電圧のローレベルの値に比べて高く設定することにより、前記少なくとも 1 つのサブフィールドにおける維持期間の維持動作と、前記少なくとも 1 つのサブフィールドに続くサブフィールドの初期化期間の初期化動作とを同時に実行させる A C 型プラズマディスプレイパネルの駆動方法。

【請求項 3】 前記少なくとも 1 つのサブフィールドの前記維持期間において前記走査電極または前記維持電極に印加する最後の維持パルス幅を他の維持パルス幅よりも短く設定することにより、前記維持期間の最後の維持動作と同時に維持放電を停止させるための消去動作を行わせる請求項 2 記載の A C 型プラズマディスプレイパネルの駆動方法。

【明細書の詳細な説明】

【0001】

【明細書の属する技術分野】 本発明はテレビジョン受像機およびコンピュータ端末等の画像表示に用いる A C 型プラズマディスプレイパネルの駆動方法に関するものである。

【0002】

【従来の技術】 従来の A C 型プラズマディスプレイパネル（以下、パネルといふ）の一部斜視図を図 3 に示す。図 3 に示すように、第一のガラス基板 1 上には誇張体層 2 および保護膜 3 で覆われた走査電極 4 と維持電極 5 とが対を成して互いに平行に付設されている。第二のガラス基板 6 上には絶縁体層 7 で覆われた複数のデータ電極 8 の各間の絶縁体層 7 上にはデータ電極 8 と平行して隔壁 9 が設けられている。また、絶縁体層 7 の表面および隔壁 9 の両側面に並光体 10 が形成されている。第一のガラス基板 1 と第二のガラス基板 6 とは、走査電極 4 および維持電極 5 とデータ電極 8 とが直交するように、放電空間 11 を挟んで対向して配置されている。放電空間 11 には、放電ガスとしてヘリウム、ネオンおよびアルゴンのうち少なくとも 1 種とキセノンとが封入されている。データ電極 8 と対をなす走査電極 4 および維持電極 5 との交差部の放電空間には放電セル 12 が構成されている。

【0003】 次に、このパネルの電極配列図を図 4 に示す。図 4 に示すように、このパネルの電極配列は $m \times n$ のマトリクス構成であり、列方向には m 列のデータ電極 D1 ~ Dm が配列されており、行方向には n 行の走査電極 SCN1 ~ SCNn および維持電極 SUS1 ~ SUSn が配列されている。また、図 3 に示した放電セル 12 は図 4 に示すような傾向に設けられている。

【0004】 このパネルを駆動するための従来の駆動方法の動作駆動タイミング図を図 5 に示す。この駆動方法は 256 階調表示を行なうためのものであり、1 フィールド周期を 8 個のサブフィールドで構成している。以下、従来のパネルの駆動方法について図 3 ないし図 5 を用いて説明する。

【0005】 図 5 に示すように、第 1 ないじ第 8 のサブフィールドは初期化期間、書き込み期間、維持期間および消去期間からそれぞれ構成されている。まず、第 1 のサブフィールドにおける動作について説明する。

【0006】 図 5 に示すように、初期化期間の前半の初期化動作において、全てのデータ電極 D1 ~ Dm および全ての維持電極 SUS1 ~ SUSn を 0 (V) に保持し、全ての走査電極 SCN1 ~ SCNn には、全ての維持電極 SUS1 ~ SUSn に対して放電開始電圧以下の電圧 V_s を印加する。ここで、その放電開始電圧を越える電圧 V_d (V) から、その放電開始電圧を越える電圧 V_h (V) に向かって緩やかに上昇するランプ電圧を印加する。このランプ電圧が上昇する間に、全ての放電セル 12 において、全ての走査電極 SCN1 ~ SCNn から全てのデータ電極 D1 ~ Dm および全ての維持電極 SUS1 ~ SUSn にそれぞれ一回目の微弱な初期化放電が起こり、走査電極 SCN1 ~ SCNn 上の保護膜 3 の表面に負の壁電圧が蓄積されるとともに、全てのデータ電極 D1 ~ Dm 上の絶縁体層 7 の表面および全ての維持電極 SUS1 ~ SUSn 上の保護膜 3 の表面には正の壁電圧が蓄積される。

【0007】 さらに、初期化期間の後半の初期化動作において、全ての維持電極 SUS1 ~ SUSn に正電圧 V_h (V) に保ち、全ての走査電極 SCN1 ~ SCNn には、全ての維持電極 SUS1 ~ SUSn に対して放電開始電圧以下となる電圧 V_a (V) から放電開始電圧を越える V_d (V) に向かって緩やかに下降するランプ電圧を印加する。このランプ電圧が下降する間に、再び全ての放電セル 12 において、全ての維持電極 SUS1 ~ SUSn にそれぞれ二回目の微弱な初期化放電が起こり、全ての走査電極 SCN1 ~ SCNn および全ての維持電極 SUS1 ~ SUSn 上の保護膜 3 の表面に負の壁電圧および全ての維持電極 SUS1 ~ SUSn 上の保護膜 3 の表面の正の壁電圧が

器のられる。また、全てのデータ電極 D1～Dmと全ての走査電極 S C N1～S C Nnとの間にも微弱な放電が起り、全てのデータ電極 D1～Dm上の絶縁体層 7の表面の正面の集電圧は書き込み動作に適した値に調整される。

【0008】以上により初期化期間の初期化動作が終了する。

[0009] 次の書き込み期間の書き込み動作において、全ての走査電極 $SCN_1 \sim SCN_n$ を V_s (V) に保持し、データ電極 $D_1 \sim D_m$ のうち、一行目に表示すべき放電セル $1 \sim 2$ に対応する所定のデータ電極 D_j (j は $1 \sim m$ の整数を表す) に正の書き込みパルス電圧 $+V_w$ (V) を、一行目の走査電極 SCN_1 に走査パルス電圧 0 (V) をそれぞれ印加する。このとき、所定のデータ電極 D_j と走査電極 SCN_1 との交差部における絶縁膜 7 の表面と走査電極 SCN_1 上の保護膜 3 の表面との間の電圧は、書き込みパルス電圧 $+V_w$ (V) にデータ電極 $D_1 \sim D_m$ 上の絶縁体層 7 の表面の正の壁電圧が加算されたものとなるため、この交差部において、所定のデータ電極 D_j と走査電極 SCN_1 との間におよび維持電圧 SU_{S1} と走査電極 SCN_1 との間に書き込み放電が起こり、この交差部の走査電極 SCN_1 上の保護膜 3 表面に正電圧が蓄積され、維持電圧 SU_{S1} 上の保護膜 3 表面に負電圧が蓄積され、書き込み放電が起こったデータ電極 D_j 上の絶縁体層 7 の表面に負電圧が蓄積される。

【0010】 次に、データ電極D1～Dmのうち、二行目に表示すべき放電セル12に対応する所定のデータ電極DJに正の書き込みバルス電圧+Vw(V)を、二行目の走査電極SCN2に走査バルス電圧0(V)をそれぞれ印加する。このとき、所定のデータ電極DJと走査電極SCN2との交差部における緩和層7の表面と走査電極SCN2上の保護膜3の表面との間の電圧は、書き込みバルス電圧+Vw(V)に所定のデータ電極DJ上の緩和層7の表面に蓄積された正の壁電圧が加算されたものとなるため、この交差部において、所定のデータ電極DJと走査電極SCN2との間におよび維持電極SUS2と走査電極SCN2との間に書き込み放電が起こり、この交差部の走査電極SCN2上の保護膜3表面に正電圧が蓄積され、維持電極SUS2上の保護膜3表面に負電圧が蓄積される。

[0011] 同様な動作が引き続いて行われ、最後に、データ電極D1～Dmのうち、n行目に表示すべき放電セル12に対応する所定のデータ電極Djに正の書き込みパルス電圧+V_w(V)を、n行目の走査電極S CNnに走査パルス電圧0(V)をそれぞれ印加する。このとき、所定のデータ電極Djと走査電極S CNnとの交差部において、所定のデータ電極Djと走査電極S CNnとの間におよび維持電極S USnと走査電極S CNnとの間に書き込み放電が起こり、この交差部の走査電極S CNn上の保護膜3表面に正の電圧が蓄積され、維持電極S USn上の保護膜3表面に負の電圧が蓄積され、書き込み

み放電が起こったデータ電極Dj上の絶縁体層7の表面に負の電圧が蓄積される。

【0012】以上により書き込み期間における書き込み動作が終了する。

【D013】 続く維持期間において、先ず、全ての走査電極SCN1～SCNnおよび維持電極SUS1～SUSnを0(V)に一旦戻した後、全ての走査電極SCN1～SCNnに正の維持パルス電圧+Vm(V)を印加すると、書き込み放電を起こした放電セル12における走査電極SCNi(iは1～nの整数とする)上の保護膜3の表面と維持電極SUS1～SUSn上の保護膜3の表面との間の電圧は、維持パルス電圧+Vm(V)に、書き込み期間において蓄積された走査電極SCNi上の保護膜3表面に蓄積された正の壁電圧および維持電極SUS1上の保護膜3表面に蓄積された負の壁電圧が加算されたものとなり、放電開始電圧を超える。このため、書き込み放電を起こした放電セルにおいて、走査電極SCNiと維持電極SUS1との間に維持放電が起こり、この維持放電を起こした放電セルにおける走査電極SCNi上の保護膜3表面には負の壁電圧が蓄積され、維持電極SUS1上の保護膜3表面には正の壁電圧が蓄積される。その後、維持パルス電圧は0(V)に戻る。

【D014】 続いて、全ての維持電極SUS1～SUSnに正の維持パルス電圧+Vm(V)を印加する。維持放電を起こした放電セルにおける維持電極SUS1上の保護膜3表面と走査電極SCNi上の保護膜3表面との間の電圧は、維持パルス電圧+Vm(V)に、直前の維持放電によって蓄積された走査電極SCNi上の保護膜3表面の負の壁電圧および維持電極SUS1上の保護膜3表面の正の壁電圧が加算されたものとなる。このため、この維持放電を起こした放電セルにおいて、維持電極SUS1と走査電極SCNiとの間に維持放電が起こることはより、その放電セルにおける維持電壓Vmは0(V)の保護膜3表面に負の壁電圧が蓄積され、走査電極SCNi上の保護膜3表面に正の壁電圧が蓄積される。その後、維持パルス電圧は0(V)に戻る。

【D015】 以降同様に、全ての走査電極SCN1～SCNnと全ての維持電極SUS1～SUSnとに正の維持パルス電圧+Vm(V)を交互に印加することにより、維持放電が繰り返して行われる。維持期間の最期において、全ての走査電極SCN1～SCNnに正の維持パルス電圧+Vm(V)を印加すると、維持放電を起こした放電セルにおける走査電極SCNi上の保護膜3表面と維持電極SUS1上の保護膜3表面との間の電圧は、維持パルス電圧+Vm(V)に、直前の維持放電によって蓄積された走査電極SCNi上の保護膜3表面の正の壁電圧と維持電極SUS1上の保護膜3表面の負の壁電圧が加算されたものとなる。このため、この維持放電を起こした放電セルにおいて、走査電極SCNiと維持電極SUS1との間に維持放電が起こることにより、その放電

セルにおける走査電極SCNI上の保護膜3表面に負の
電圧が蓄積され、維持電極SUSI上の保護膜3表面
に正の電圧が蓄積される。その後、維持パルス電圧は
0(V)に戻る。以上により維持期間の維持動作が終了す
る。この維持放電により発生する紫外線で励起された
蛍光体10からの可視発光を表示に用いている。

【0016】近く消去期間において、全ての維持電極S
USI～SUSnに0(V)から+Ve(V)に向かって
緩やかに上昇するランプ電圧を印加すると、維持放電を
起こした放電セルにおいて、走査電極SCNI上の保護
膜3表面と維持電極SUSI上の保護膜3表面との間の
電圧は、維持期間の最終時点における、走査電極SCNI
上の保護膜3表面の負の電圧および維持電極SUSI
上の保護膜3表面の正の電圧がこのランプ電圧に加算
されたものとなる。このため、維持放電を起こした放電
セルにおいて、維持電極SUSIと走査電極SCNIとの
間に微弱な消去放電が起こり、走査電極SCNI上の保
護膜3表面の負の電圧と維持電極SUSI上の保護膜
3表面の正の電圧が弱められて維持放電は停止する。
【0017】以上により消去期間における消去動作が終了す
る。

【0018】ただし、以上の動作において、表示が行わ
れない放電セルに関しては、初期化期間に初期化放電は
起こるが、書き込み放電、維持放電および消去放電は行
われず、表示が行わらない放電セルの走査電極SCNI
と維持電極SUSIの保護膜3の表面に蓄積された電圧、
およびデータ電極DJ上の絶縁体層7の表面に蓄積
された電圧は、初期化期間の終了時の状態まま保たれ
る。

【0019】以上の全ての動作により第1のサブフィー
ルドにおける1画面が表示される。以下、同様な動作
が、第2のサブフィールドから第8のサブフィールドに
わたって行われる。これらのサブフィールドにおいて表
示される放電セルの速度は、維持パルス電圧+Vm
(V)の印加回数により定まる。したがって、例えば、
各サブフィールドにおける維持パルス電圧の印加回数を
適宜設定して、1フィールド期間に維持放電による輝度
が20、21、22、…、27である8個のサブフィール
ドで構成することにより、28=256階調の階調表示
が可能になる。

【0020】以上説明した従来の駆動方法においては、
パネルに表示する放電セルが全くない、いわゆる黒画面
の表示においては、書き込み期間の書き込み放電、維持
期間の維持放電および消去期間の消去放電が起こらず、
初期化期間の初期化放電のみが起こり、この初期化放電
が微弱であり、その放電発光もまた微弱であるために、
パネルのコントラストが高いという特長がある。例え
ば、480行、852×3列のマトリックス構成を成す
42インチAC型プラズマディスプレイパネルにおい
て、1フィールド期間を8個のサブフィールドで構成し

て256階調表示を行った場合、各サブフィールドの初
期化期間における二回の初期化放電による発光輝度は
0.15cd/m²であった。したがって、8個のサブ
フィールドでの合計は0.15×8=1.2cd/m²となり、最大輝度は420cd/m²であるので、この
パネルのコントラストは420/1.2=350:1となり、かなり高い値のコントラストが得られる。

【0021】

【発明が解決しようとする課題】しかし、上述の従来の
駆動方法においては、通常の照明下でパネル表示を行っ
た場合にはかなり高いコントラストが得られているが、
サブフィールド毎に必ず二回の初期化放電が起こるた
め、周囲が暗い所でパネル表示する場合には、この微弱
な初期化放電による発光でさえも目立つほど輝度が高
く、あまり明るくない場所でパネル表示する場合の黒表
示の視認性が悪いという大きな課題があった。

【0022】

【課題を解決するための手段】このような課題を解決す
るために、本発明者等は初期化期間における初期化動作
の役割について検討することにより、本発明を完成する
に至ったものである。

【0023】次に、従来の駆動方法では、各サブフィー
ルドごとに初期化動作が必要となる理由について説明す
る。ここで、図5に示す従来の駆動波形において、Vw=7.0V、
Vm=2.00Vとして説明する。

【0024】書き込み期間において、所定の放電セルで
書き込み放電を起すためには、放電セルのデータ電極
DJと走査電極SCNIとの間の放電空間に放電開始電圧
(例えは250V程度)以上の電圧を印加する必要があ
る。書き込み動作時には、走査電極SCNIは0Vであ
りデータ電極DJには7.0Vの書き込み電圧が印加され
るので、確実に書き込み動作を行うには、データ電極DJ
上の絶縁体層7上には約2.00Vの電圧をあらかじ
め蓄積する必要がある。この書き込みに必要な電圧を
Vmrite(～2.00V)とする。

【0025】また、維持期間における維持動作によりデータ電極DJ上の絶縁体層7上には電圧が蓄積する
が、維持期間の終了時におけるその電圧の値は、走査
電極SCNIに印加される電圧と維持電極SUSIに印加
される電圧との中间の電圧領域になると考えられる。
この電圧をVsustain(～1.00V)とする。

【0026】したがって、あるサブフィールドでの維持
動作の終了時から次のサブフィールドの書き込み動作へ
移る間に、データ電極DJ上の絶縁体層7上の電圧を
VsustainからVmriteに変化させる必要がある。この電
圧の差Vmrite-Vsustain(～1.00V)を補うこと
が初期化動作の主要な役割の1つであり、初期化動作は
パネルを安定に駆動するために不可欠である。

【0027】以上の考察から、あるサブフィールドでの
維持期間終了時におけるデータ電極DJ上の絶縁体層7

上の電圧 $V_{sustain}$ が、次のサブフィールドでの書き込み期間において必要な電圧 V_{write} とほぼ同じになるような駆動を行うことにより、初期化動作を簡略化し、初期化動作に伴う不必要な発光をなくすことができるという知見を得た。この知見に基づき、黒の視認性が大幅に向ふるとともに、コントラストを非常に高めることができることを示すパネルの駆動方法を得ることができた。

【0028】本発明のAC型プラスマディスプレイパネルの駆動方法は、初期化期間、書き込み期間および維持期間を有する複数のサブフィールドにより1フィールド周期を構成して階調表示を行うAC型プラスマディスプレイパネルの駆動方法であって、前記複数のサブフィールドのうち少なくとも1つのサブフィールドにおける維持期間の維持動作と、前記少なくとも1つのサブフィールドに於けるサブフィールドの初期化期間の初期化動作とを同時に実行せらるるものである。

【0029】この方法により、第2のサブフィールド以降のサブフィールドでは、直前のサブフィールドで表示を行った放電セルにおいてのみ初期化放電を起こし、表示を行わない放電セルにおいては初期化放電を起らなくすることができる。

【0030】

【発明の実施の形態】本発明に用いるAC型プラスマディスプレイパネル（以下、パネルという）は従来例として図3に示したものと同じである。また、このパネルの電極配列図は図4に示したものと同じである。したがって、それらの説明は省略する。

【0031】このパネルを駆動するための、本発明の一実施の形態であるパネルの駆動方法について説明する。図1にその駆動方法の動作駆動タイミング図を示す。

【0032】図1に示すように、1フィールド期間は、初期化期間、書き込み期間および維持期間を有する第1ないし第8のサブフィールドで構成されており、これによって256階調の表示を行うものである。これら8個のサブフィールドのうち、第1のサブフィールドを除く7個のサブフィールドにおいて、初期化期間の初期化動作の一部を、前1のサブフィールドの維持期間の維持動作と同時に実行している。第1のサブフィールドにおいては、初期化期間、書き込み期間および維持期間が独立して設けられており、独立した消去期間は設けられていない。また、第2のサブフィールドにおいては、初期化期間の一部が第1のサブフィールドの維持期間と重なって設けられ、統合して書き込み期間および維持期間が設けられており、消去期間は設けられていない。すなわち、第1のサブフィールドの維持期間における維持動作と同時に、第2のサブフィールドの初期化期間における初期化動作が行われている。統合第3ないし第8のサブフィールドにおいても同様に初期化期間、書き込み期間および維持期間が設けられているが、消去期間が設けられておらず、各サブフィールドの初期化期間における初

期化動作の一部は、すぐ前のサブフィールドの維持期間における維持動作と同時に実行されている。

【0033】図1において、第1のサブフィールドの初期化期間および書き込み期間の動作は、従来例で説明した動作と同じであるので、それらの説明は省略する。第1のサブフィールドの維持期間における動作と第2のサブフィールドの初期化期間における動作とが同時に実行されている点については、本発明の主眼であるので図1および図3を用いて以下に詳しく説明する。

【0034】図1に示すように、第1のサブフィールドの維持期間と、第2のサブフィールドの初期化期間の前期間とが重なっており、この重なった期間において、全ての走査電極 $S_{CN1} \sim S_{Cn}$ および全ての維持電極 $S_{US1} \sim S_{USn}$ に、直流電圧 $V_{t1} (V)$ を維持パルス電圧 $V_m (V)$ に重ねて印加している。すなわち、書き込み期間において走査電極 $S_{CN1} \sim S_{Cn}$ に印加する走査パルス電圧のローレベルの値 ($0 (V)$) に対し、維持期間における維持電極 $S_{US1} \sim S_{USn}$ および走査電極 $S_{CN1} \sim S_{Cn}$ に印加する維持パルス電圧のローレベルの値 ($V_t (V)$) を高電位にしている。そして、維持期間における最後の維持パルスのパルス幅を他の維持パルスのパルス幅よりも短くし、その後走査電極 $S_{CN1} \sim S_{Cn}$ および維持電極 $S_{US1} \sim S_{USn}$ の電圧を一定の電圧 $V_u (V)$ とする。

【0035】引き続いて、第2のサブフィールドの初期化期間の前期間に続く後期間において、全ての維持電極 $S_{US1} \sim S_{USn}$ に正電圧 $V_h (V)$ を印加し、全ての走査電極 $S_{CN1} \sim S_{Cn}$ に電圧 $V_{t2} (V)$ から $V_{t3} (V)$ に向かって緩やかに下降するランプ電圧を印加する。このとき電圧 $V_{t2} (V)$ は電圧 $V_{t1} (V)$ と等しくする必要はない。電圧 $V_{t3} (V)$ は電圧 $V_{t1} (V)$ より低い電圧に設定することができる。

【0036】以上の動作において、第1のサブフィールドの維持期間の動作に遷する後、全ての走査電極 $S_{CN1} \sim S_{Cn}$ および全ての維持電極 $S_{US1} \sim S_{USn}$ には直流電圧 $V_{t4} (V)$ を維持パルス電圧 $V_m (V)$ に重ねて印加されている。このため、全ての走査電極 $S_{CN1} \sim S_{Cn}$ と全ての維持電極 $S_{US1} \sim S_{USn}$ との間の電圧関係は、従来の駆動方法における動作とすなわち、全ての維持電極 $S_{US1} \sim S_{USn}$ と全ての走査電極 $S_{CN1} \sim S_{Cn}$ とに正の維持パルス電圧 $V_m (V)$ を交互に印加している場合と等価になる。このため、従来の場合と同様に、書き込み放電を起こした放電セルでは維持放電が継続して行われる。

【0037】そして、維持期間において最後に印加される維持パルス電圧のパルス幅は、放電が蓄電荷を形成して安定に終了する時間である $2 \mu s$ よりも短く設定されており、その維持パルス電圧印加後の走査電極 $S_{CN1} \sim S_{Cn}$ および維持電極 $S_{US1} \sim S_{USn}$ の電圧は一定の電圧 $V_u (V)$ に設定されている。このため、走査

電極 S C N 1 ~ S C N n 上の保護膜 3 表面の電圧と維持電極 S U S 1 ~ S U S n 上の保護膜 3 表面の電圧とはほぼ等しくなり、消去動作が行われることになる。また、書き込み放電が発生しなかった放電セルについてはこのような維持放電は起こらない。

【0038】次に、第2サブフィールドの初期化期間においてみると、この初期化期間の前期間の初期化動作において、全ての走査電極 S C N 1 ~ S C N n と全てのデータ電極 D 1 ~ D m の間の電圧は V_t (V) または $V_t + V_m$ (V) となる。書き込み放電を起こした放電セルでは、データ電極 D j 上の絶縁体層 7 の表面と走査電極 S C N i 上の保護膜 3 表面の間に加わる最大電圧は、 $V_t + V_m$ (V) と走査電極 S C N i 上の保護膜 3 表面に蓄積された正の電圧とを加算したものから、データ電極 D j 上の絶縁体層 7 の表面に書き込み動作により蓄積された負の電圧を引いたもの（即ち記録値を足したもの）となり、放電開始電圧をこえる。このため、書き込み放電を起こした放電セルでは走査電極 S C N i からデータ電極 D j に放電が起こる。これがデータ電極 D j に対する初期化放電となり、データ電極 D j 上の絶縁体層 7 の表面に正の電圧が蓄積される。この初期化放電は、初期化期間の前期間の間、維持パルス電圧を印加することに発生している。

【0039】一方、書き込みが行われていない放電セルでは、データ電極 D j 上の絶縁体層 7 の表面と走査電極 S C N i 上の保護膜 3 表面との間に加わる最大電圧は、 $V_t + V_m$ (V) と走査電極 S C N i の保護膜 3 表面に蓄積された正の電圧とを加算したものから、データ電極 D j 上の絶縁体層 7 の表面に蓄積された正の電圧を引いたものとなり、放電開始電圧をこえない。このため、第1のサブフィールドで書き込みがなった放電セルでは、初期化期間の前期間ではデータ電極 D j に対する初期化放電は起こらない。

【0040】さらに、初期化期間の後期間の初期化動作では、全ての維持電極 S U S 1 ~ S U S n には正電圧 V_h (V) を印加する。また、全ての走査電極 S C N 1 ~ S C N n には、全ての維持電極 S U S 1 ~ S U S n に対して放電開始電圧以下となる電圧 $V_{q'}$ (V) から、放電開始電圧を越え書き込み期間の走査電極に印加する走査パルス電圧のローレベルの値に等しい V_q (V) に向かって緩やかに下降するランプ電圧を印加している。このランプ電圧が下降する間に、初期化期間の前期間において初期化放電が起こった放電セルでは、維持電極 S U S 1 から走査電極 S C N i に再び初期化放電が起こる。この初期化放電は微弱であり、走査電極 S C N i 上の保護膜 3 の表面に正の電圧が、維持電極 S U S 1 の表面に負の電圧がそれわざわざに蓄積する。また、データ電極 D j と走査電極 S C N i との間に微弱な放電が起こり、データ電極 D j 上の絶縁体層 7 の表面に蓄積された正の電圧は書き込み動作に通した後に調整される。1回目

の初期化放電が起こらなかった放電セルについては、前のサブフィールドにおいて電圧はすでに書き込み動作に通した後に調整されているため、前述の2回目の初期化放電は起こらない。

【0041】以上の説明で明らかのように、第2ないし第8のサブフィールドにおいても消去期間が設けられていないが、書き込み動作、維持動作および消去動作と次のサブフィールドの初期化動作が確実に行われる。また、第2のサブフィールド以降の各サブフィールドにおいて、表示が行われない放電セルに関しては、初期化放電、書き込み放電、維持放電および消去放電は行われず、その放電セルに対応する走査電極 S C N 1 ~ S C N n および維持電極 S U S 1 ~ S U S n 上の保護膜 3 の表面の電圧およびデータ電極 D 1 ~ D m 上の絶縁体層 7 の表面の電圧は、各サブフィールドの直前のサブフィールドにおける初期化期間の終了時の状態に保たれる。

【0042】以上説明したように、図1に示した本発明の一実施の形態では、第1のサブフィールドにおける初期化期間の微弱な初期化放電は、パネルの表示の有無に関わらず行われるに対し、第2のサブフィールド以降の各サブフィールドにおいては、初期化期間の初期化放電はパネルの表示を行う放電セルに対してのみ次のサブフィールドに対する初期化動作として行われる。また、初期化放電の輝度は維持放電の輝度に上乗せされるだけであり、表示しない放電セルに対してはこのような初期化放電は起こらない。

【0043】例えば、480行、852×3列のマトリクス構成を成す42インチAC型プラズマディスプレイパネルにおいて、1フィールド周期を8個のサブフィールドで構成して256階調の表示を行った場合、最大輝度が4.2°C.d/m²となったのに對し、第1のサブフィールドの初期化期間における2回の初期化放電による輝度は0.113°C.d/m²であった。ここで、 $V_p = 1.0$ [OV], $V_q = 1.9$ [OV], $V_m = 2.0$ [OV], $V_t = 1.0$ [OV], $V_{q'} = 2.0$ [OV], $V_h = 3.0$ [OV], $V_{q''} = 3.0$ [OV], $V_s = 7.0$ [V]とした。この結果、パネルに表示すべき放電セルが全くない、いわゆる黒画面の表示においては、第1のサブフィールドの初期化放電の発光のみが行われるので、黒表示の輝度が0.15°C.d/m²と從来の1/8となり、薄暗いところでパネルを表示した場合、従来に比べて黒表示の視認性を極めて向上させることができた。また、本実施の形態によるパネルのコントラストは4.2/0.15=28.0:1となり、極めて高い値のコントラストが得られた。

【0044】また、第2ないし第8のサブフィールドの初期化期間の初期化動作の一部と、すぐ前のサブフィールドの維持期間における維持動作とが同時に行われているため、初期化に要する時間を大幅に短縮することができるとともに、独立した消去期間を設ける必要がなくなるため、従来の駆動方法に比較して駆動時間を大幅に短

能することができる。本実施の形態では、1フィールド期間での初期化期間は1msであり、従来の駆動方法における初期化期間および消去期間の2、8msに比べて大幅に短縮することができた。したがって、駆動時間が増加する大型パネルや高精細度パネルに対して有効な駆動方法となり得る。

【0045】次に、第2の実施の形態における駆動波形タイミング図を図2に示す。

【0046】AC型プラスマディスプレイパネルは放電セルの周囲が誘電体に囲まれており各電極の駆動波形は互に結合的につながり、各駆動波形をDC的にレベルシフトしてもその動作は変わらないという性質を有している。この性質を利用して、図2に示すような駆動波形すなわち図1に示した走査電極駆動波形および維持電極駆動波形を全体的に直流電圧Vt(V)だけ下げた駆動波形を印加している。この場合、Vtを基準に維持パルスVmを作成できるため回路設計の上で実現が容易となる。

【0047】上記実施の形態では、維持期間の最後の維持パルス幅を短くし、最後の維持動作と同時に維持放電を停止させるための消去動作を行った場合について説明したが、ランプ波形を用いて消去動作を行ってもよい。また、1フィールド期間を、初期化期間：書き込み期間および維持期間を有する8個のサブフィールドで構成して階調表示を行うAC型プラスマディスプレイパネルの駆動方法において、8個のサブフィールドのうちの7個のサブフィールドについて、あるサブフィールドの維持期間における維持動作と次のサブフィールドにおける初期化期間の初期化動作と同時に進行する駆動方法について説明したが、1フィールド期間を構成しているサブフィールドの数、消去期間を設けないサブフィールドの数および維持期間の最終部の維持動作と次のサブフィールドの初期化期間の初期化動作とを同時に進行するサブフィールド下の数は任意に設定することができる。また、サブフィールドにおける駆動波形も限定されるものではない。さらに、本発明は、他の構成のAC型プラスマディスプレイパネルに対しても実施することができるものである。

【0048】

【発明の効果】以上説明したように、本発明のAC型プラスマディスプレイパネルの駆動方法によれば、1フィ

ールドを構成している複数のサブフィールドのうち少なくとも1つのサブフィールドにおける維持期間の維持動作と、そのサブフィールドに続くサブフィールドにおける初期化期間の初期化動作とを同時にを行うことにより、パネルに表示のない、いわゆる黒画面表示における輝度が極めて低くなるので、黒の視認性が大幅に向かうとともに、パネルのコントラストを非常に高めることができる。

【0049】さらに、初期化に要する時間が大幅に短縮され、消去に要する時間も必要なくなるため、従来の駆動方法に比較して駆動時間を大幅に短縮することができる。したがって、本発明は大型化または高精細度化したパネルに対して有効な駆動方法となる。

【回面の簡単な説明】

【図1】本発明の第一の実施形態としてのAC型プラスマディスプレイパネルの駆動方法を示す動作駆動タイミング図

【図2】本発明の第二の実施形態としてのAC型プラスマディスプレイパネルの駆動方法を示す動作駆動タイミング図

【図3】従来のAC型プラスマディスプレイパネルの一部斜視図

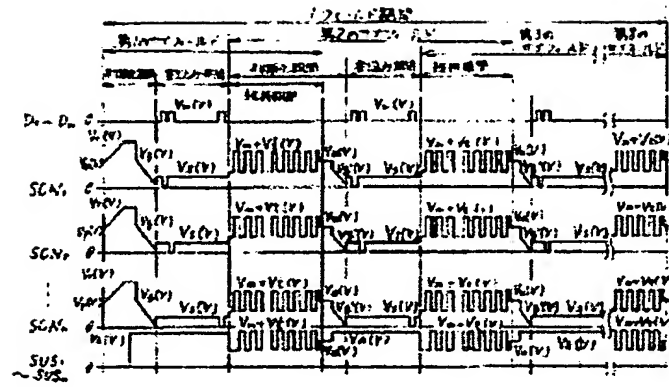
【図4】従来のAC型プラスマディスプレイパネルの電極配列図

【図5】従来のAC型プラスマディスプレイパネルの駆動方法を示す動作駆動タイミング図

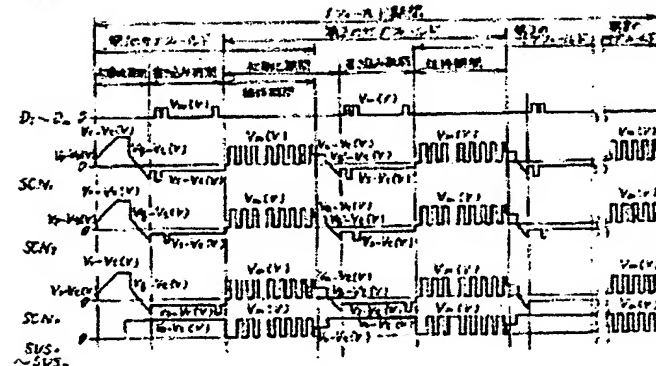
【符号の説明】

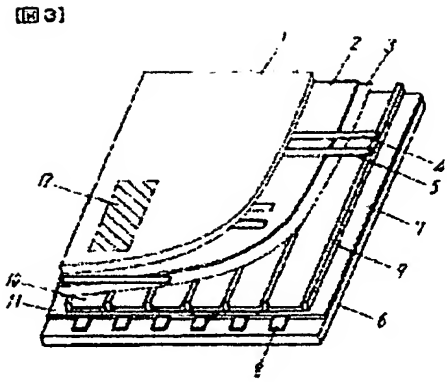
- 1 第一のガラス基板
- 2 誘電体層
- 3 保護膜
- 4 走査電極
- 5 維持電極
- 6 第二のガラス基板
- 7 絶縁体層
- 8 データ電極
- 9 隔壁
- 10 放光体
- 11 放電空間
- 12 放電セル

[図 1]

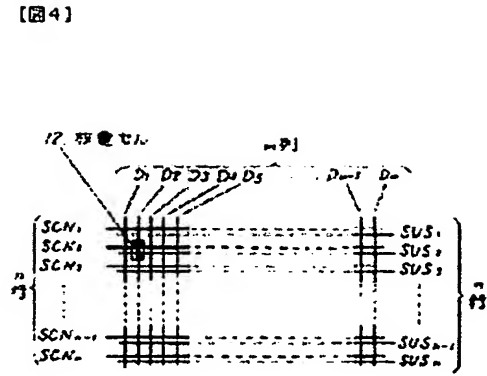


[図 2]

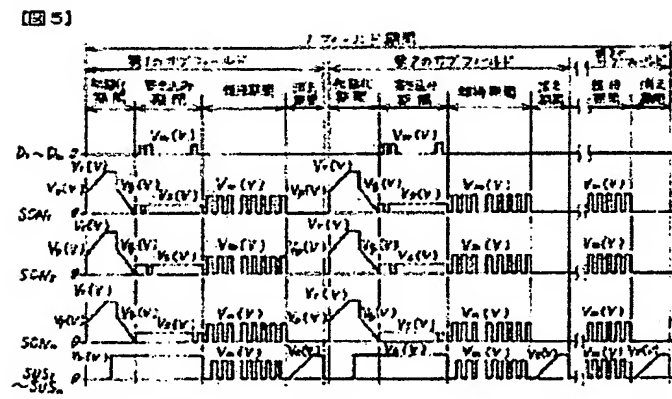




{M 3}



[图4]



フロントページの焼き

(72)発明者 河内 駿
大阪府門真市大字門真1006番地 松下電器
産業株式会社内

Fターム(参考) 5C080 AA05 BB05 DD03 0D30 EE29
EE30 FF12 6612 HH02 HH04
JJ04 JJ06